

北上大堤の柱基礎杭の設計（傾斜岩盤上における短杭の設計）

東北地建北上川下流工事事務所 正員。会津正人
同 正員 尾林達成

1. まえがき

北上大堤は柱基礎杭のうち兩岸の1号及び4号柱は地形地質條件により傾斜岩盤の短杭基礎となり、且大きな軸直角方向力も杭先端に伝達される特殊な基礎杭構造である。本發表はこの事の特徴を基礎杭構造を開塞効果の検討、弾性地盤の束としての解法と短杭の弾性方程式を解く解法の完成法、及ぶ変位を考慮した計算算定等の諸々検討結果をとりまとめたものである。

2. 北上大堤の概要

北上大堤はかんがへ用木の確保、内比土川との分派、及び堆積防止等の目的で新北上川への開拓より17.2Km地盤工建設を主とする動化せん水路3門（スパン50m）高水路3門（スパン38m）の護岸延長約35m の大型河川構造物であり、このうち50mスパンのゲートはシエルタイプのローラーゲートにしては東邦最大の規模である。なお、北上大堤は大正14年より昭和7年の完成まで要して昭和7年に完成した飯野川動化（北上大堤建設地盤より約2.4Km 下流）が治水計画の変遷、長年月にわたる常備化及びニール洋の堆積管理の困難等の理由により改築の必要が生じたもので、今回名稱も新ル北上大堤として昭和43年3月12工事着手し昭和49年3月に完成する予定である。

図-1 北上大堤位置図

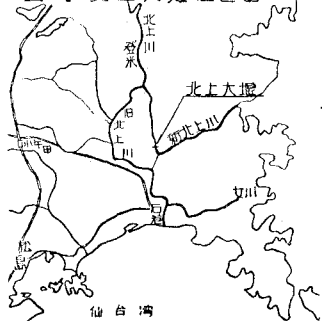
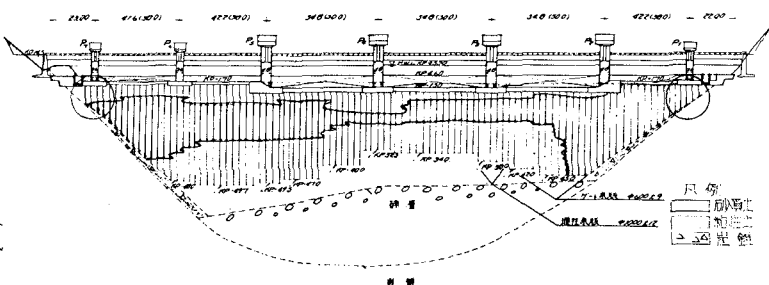


図-2、北上大堤平面図



3. 地質概況

北上大堤設置地盤の地質構成は砂岩及び粘板岩の互層よりなる中生代三畠紀の福井戸部のU字型の基礎として広く分布し、その上部は第四紀土層を構成している。第四紀土は下部の砂礫層と上中部を占める粘性土層以及砂質土層が分布している。断面構成の一般的特徴は基礎である福井戸部が急峻な谷を形成していること、継ぎの急傾斜で深く河床に入りこんでいる。傾斜岩盤上には位置によって若干の相違はあるが、約10~数mの崖壁層が広く分布しており、この上部地盤は川の中央部では砂戸が優勢で左右岸附近では粘性土が厚くなる傾向にある。これらの粘性土層及ぶ砂質土層は互層構成にはクロック状に入り混り河川堆積物に特有な傾向がある。垂直方向への変化が激しい。上下杭方向も砂質土中に粘性土又は粘性土の砂質土がレンズ状に分布する性質を有している。この事の粘土層のN値は全て10以下

これら特に河床附近の粘土層は殆んど零れ進む軟弱地盤である。

4. 計算荷重と許容変位量

基礎杭設計の荷重條件は柱状水流方向と直角方向であるが二種類について常時、地震時及び供給水量の20%～25%の計算を実施したが全く重直力及び水平力の最大値を確定することができた。許容変位量は構造物の重要な及に経済性等より決定されるものと考えられるが、而動の場合にはデータの操作性能の考慮性も考慮しなければならぬので、二点を複合取に勘案し、水平変位を地震時25mm、常時15mm、重直変位を15mmと決定した。なお、二点の許容変位量は同一の杭頭変位量である。

表-1. 1号柱の荷重

荷重條件	種別		重直力 外力 モード	水平力 外力 モード	合計モード モード	e	$\frac{B}{6}$
	地盤時	供給水量時					
水流直 角方向	地盤時 地盤時(25%)	4,547 6,215	65,711 84,744	1,112 36	5,466 475	71,177 85,219	2,154 0.211
	供給水量 (25%)	6,215	29,200	1,020	5,411	34,611	1,600
水流直 角方向	地盤時 地盤時(25%)	4,547 6,215	28,672 38,672	29	428	39,039	2,0
	供給水量 (25%)	6,215	28,672	29	428	39,039	0.280

5. 橫方向地盤係数の設計法

一般に杭の横方向の地盤係数は深さX、変位Y、杭幅Bの3つの因子に関する変数であり、一般的(1)式のように表される。 $K = f(X, Y, B) \dots \dots (1)$

これらのK値快適法についてはまだオーネライズ等の快適法は確立されていないが、本設計についてはY.L. Changの式と久保の式の両方を考慮し、又杭幅Bについては其中の $\frac{B}{6}$ に逆比例する考え方を採用して(2)式により設計K値を求めた。

$$K_0 = \frac{1}{1.2} E_p \frac{1}{B^3}, \quad K_a = \frac{1}{1.2} E_p \frac{1}{B^3} \cdot \Delta^{-0.5}, \quad K_{az} = 1.5 K_a \dots \dots (2) \quad E_p: 土の变形係数$$

以上の考え方より求めた設計K値は表-2のとおりである。

6. 倾斜岩盤における矩形の設計方法

傾斜岩盤上における矩形の設計項目

は下記のとおりである。

表-2. 設計K値

柱号NO	Name	E_p	9800 mm		摘要
			K_0	K_a	
1	b.8	44.8	1.1	1.3	$E_p = 2N + b$. a.bは最高二乗法で求めた。

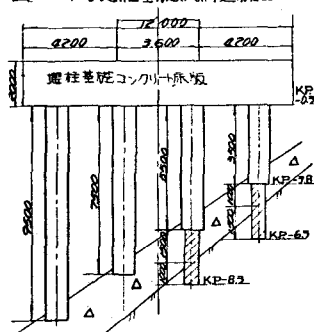
b～1. 設計計算項目

1). 固定効果の検討、2). 内周方向座屈の検討 3). 岩盤貫入の検討 4). 弹性床上の梁としての解法と矩形としての弾性方程式を解く解法の合成法 5). 変位を考慮に入れた計算法。

b～2. 固定効果の検討

鋼管杭は一般に先端閉口の状態で打込まれる。従来、支持杭の支持力計算や先端の支持面積として鋼材の断面積ではなく、断面積そのものを用いていた。この事は実験的杭の中の土楔が局部作用し充分な固定効果が得られないという考え方である。しかし地上大比1.2以上では柱杭の如く大口径の場合口壁一土質一柱杭の関係から充分検討する必要がある。

図-3 1号柱基盤構造概要



杭の極限支持力 R_u は管内土による抵抗力 F_{X_1} と管外土による抵抗力 F_{X_2} の和であり (3) 式で表されるところである。

$$R_u = F_{X_1} + F_{X_2} \cdots \cdots (3)$$

$$F_{X_1} = \frac{\alpha U}{2} X^2 + (C_A + C_d U) X$$

$$F_{X_2} = U \left\{ (C_d X + \frac{\beta}{2} X^2) + \tan \varphi \cdot Y \left(\frac{\gamma}{2} X^2 + P_0 \cdot X \right) \right\}$$

(3) 式より基礎杭の土質條件より $\beta = 0.4$, $\gamma = 800$, 及び $\phi = 30^\circ$, $H = 1000 \text{ mm}$ 代入して R_u を計算すると図一五のとおりである。

1 号の柱杭基礎杭の根入長は 10 m 以下であり充分な初期動量は期待出来ず軋直支持力の算定問題である。この場合先端打設をつけて施工するという方法が考案されたが、打込みの困難性及び地盤擾乱による裏脚壁を考慮して設計されたものは先端開口式打込み、その後に杭中の土砂を排除しコンクリートを埋められるものである。

b ~ 3. 内周座屈の検討。

本設計のように打込み止めた鋼管内部の土砂を排除する場合には柱杭基礎の内周方向の座屈について検討する必要がある。鋼管が一筋向外化を要した場合座屈を生ずる外径は (4) 式で表される。

$$P_k = \frac{E}{4(1-\nu^2)} \left(\frac{\pi}{r} \right)^3 \cdots \cdots (4)$$

この P_k が杭側面に働く土圧 P より大きければ安全である。また、地中にかかる土圧 P は (5) 式で表される。 $P = K_0 [Y_H + (1-Y_H)(Z-H_i)] + Y_H(Z-H_i) \cdots \cdots (5)$ K_0 : 土圧係数

1 号柱杭の基礎杭の條件を考慮して P_k 及び P を計算すると $P_k = 150 \text{ t}/\text{m}^2$ であり、 P は根入長より異ならず $15 \text{ t}/\text{m}^2 \sim 15 \text{ t}/\text{m}^2$ 程度であり十分安全である。

b ~ 4. 岩盤突入の検討。

杭長が短の場合、杭頭にかかる水平力の相当量が杭先端部位置での滑動防止上に先端を傾斜岩盤に突入させが必要である。杭先端部の滑動力による滑動防止上については算定面積よりの剪断力が許容剪断力以下であるべき。即ち C_a/S_A の条件を満足されねばならないが、これは大工地盤の岩の摩擦強度試験結果及び四十回分の岩の摩擦強度試験結果より判断すると $C_a = 2 \sim 3 \text{ kg}/\text{cm}^2$ 程度であると考えられる。計算結果は $S_A = 0.8 \sim 1.0 \text{ kg}/\text{cm}^2$ であり十分安全である。

b ~ 5. 弾性床の梁としての解法と矩形の弾性方程式を解く解法の合成

1 号柱杭の基礎杭は図一三のとおりであり、各柱共杭長が異なり又杭先端の固定條件も異なるので表一三の解法を実施した。

表一三 各杭別に下記解法

種別	杭先端條件	岩盤突入量	解 法	
			①	②
N.1杭	岩盤切入	1.50	① 弾性床の仮定、杭頭固定、杭先端開口式 ② " "	"
N.2	全上	1.00	① " ② "	"
N.3	アーチ式	0	有限差分による弾性方程式を解く方法	"
N.4	全上	0	"	"

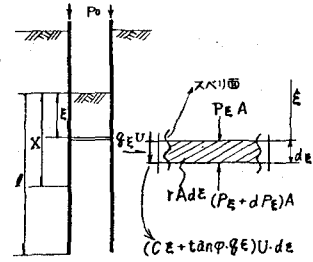


図-4 管内外土の支持力機構図

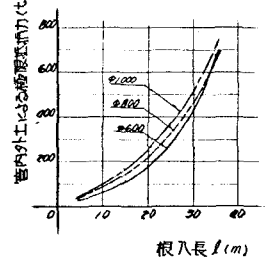


図-5 根入長へ極限支持力

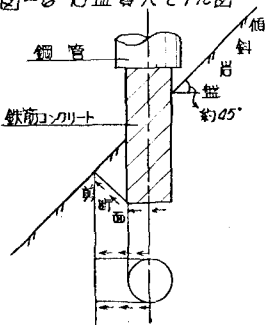


図-6 岩盤突入モデル図

1). 弹性床上の梁の解法。

横方向地盤係数 K , 柱下盤をもつてると弾性床上の梁としての 図 ~ 6

微分方程式は一般ル (6) 式で表される。

$$EI \frac{d^4y}{dx^4} + Ky = f(x) \quad \dots \dots (6)$$

本設計では $f(x) = 0$ であり、又 $L = \sqrt{\frac{4EI}{K}}$ である。式の一般解は (5) 式で表される。

$$y = (a_1 e^{\frac{2x}{L}} + a_2 e^{-\frac{2x}{L}}) \cos \frac{x}{L} + (a_3 e^{\frac{2x}{L}} + a_4 e^{-\frac{2x}{L}}) \sin \frac{x}{L} \quad \dots \dots (7)$$

杭頭固定、杭先端剛結及び杭頭固定、杭先端ヒンジの境界条件と積分定数 a_i を求めると各式 (8) となる。

$$a_1 = \frac{-\frac{P_0 L^3}{2EI} \left[e^{\frac{2L}{L}} - 2 \sin^2 \left(\frac{L}{2} \right) + (\sin \frac{L}{2} + \cos \frac{L}{2})^2 \right]}{-4 \sinh \left(\frac{2L}{L} \right) - 4 \sin \left(\frac{2L}{L} \right)} \quad \left. \begin{array}{l} \\ \\ \end{array} \right\} (8)$$

$$a_2 = \frac{-\frac{P_0 L^3}{2EI} \left[e^{\frac{2L}{L}} - 2 \sin^2 \left(\frac{L}{2} \right) + (\sin \frac{L}{2} - \cos \frac{L}{2})^2 \right]}{-4 \sinh \left(\frac{2L}{L} \right) - 4 \sin \left(\frac{2L}{L} \right)} \quad \left. \begin{array}{l} \\ \\ \end{array} \right\}$$

$$a_3 = \frac{\frac{P_0 L^3}{2EI} \left[e^{\frac{2L}{L}} + 2 \sin^2 \left(\frac{L}{2} \right) - (\sin \frac{L}{2} + \cos \frac{L}{2})^2 \right]}{-4 \sinh \left(\frac{2L}{L} \right) - 4 \sin \left(\frac{2L}{L} \right)} \quad \left. \begin{array}{l} \\ \\ \end{array} \right\}$$

$$a_4 = \frac{-\frac{P_0 L^3}{2EI} \left[e^{\frac{2L}{L}} - 2 \cos^2 \left(\frac{L}{2} \right) - (\sin \frac{L}{2} + \cos \frac{L}{2})^2 \right]}{-4 \sinh \left(\frac{2L}{L} \right) - 4 \sin \left(\frac{2L}{L} \right)} \quad \left. \begin{array}{l} \\ \\ \end{array} \right\}$$

$$a_1 = \frac{-\frac{P_0 L^3}{2EI} \left\{ 2 \cos^2 \frac{L}{2} - (\cos \frac{L}{2} - \sin \frac{L}{2})^2 + e^{-\frac{2L}{L}} \right\}}{4 (\cos^2 \frac{L}{2} - \sin^2 \frac{L}{2} + \cosh \frac{2L}{L})} \quad \left. \begin{array}{l} \\ \\ \end{array} \right\}$$

$$a_2 = \frac{\frac{P_0 L^3}{2EI} \left\{ 2 \cos^2 \frac{L}{2} - (\cos \frac{L}{2} + \sin \frac{L}{2})^2 + e^{\frac{2L}{L}} \right\}}{4 (\cos^2 \frac{L}{2} - \sin^2 \frac{L}{2} + \cosh \frac{2L}{L})} \quad \left. \begin{array}{l} \\ \\ \end{array} \right\}$$

$$a_3 = \frac{\frac{P_0 L^3}{2EI} \left\{ 2 \cos^2 \frac{L}{2} - (\cos \frac{L}{2} + \sin \frac{L}{2})^2 + e^{-\frac{2L}{L}} \right\}}{4 (\cos^2 \frac{L}{2} - \sin^2 \frac{L}{2} + \cosh \frac{2L}{L})} \quad \left. \begin{array}{l} \\ \\ \end{array} \right\}$$

$$a_4 = \frac{\frac{P_0 L^3}{2EI} \left\{ 2 \cos^2 \frac{L}{2} - (\cos \frac{L}{2} - \sin \frac{L}{2})^2 + e^{\frac{2L}{L}} \right\}}{4 (\cos^2 \frac{L}{2} - \sin^2 \frac{L}{2} + \cosh \frac{2L}{L})} \quad \left. \begin{array}{l} \\ \\ \end{array} \right\}$$

又変位量 y が求まれば傾み角、モーメント 及び剪断力は (10) 式で表される。

$$\text{傾み角 } \theta = \frac{dy}{dx}, \text{ モーメント } M = -EI \frac{dy}{dx}, \text{ 剪断力 } S = -EI \frac{d^3y}{dx^3} \quad \dots \dots (10)$$

2) 有限長さとしての弾性方程式の解法

根入れが短い杭の杭頭ルート直角方向力を加えた場合、無限長として解析ある Y.L. Chang の結果より大きな変位及び断面力を生ずる。即ち杭の根入長が $\ell < l$ の時は有限長の杭として取り扱わなければならぬ。又 $EI \frac{d^4y}{dx^4} = P$ (地中部分) で示される弾性方程式の境界条件を有限長 ℓ として Y.L. Chang と同じにして地盤が一様のものとして解くと傾み角、モーメント 及び剪断力等は (11) 式で表される。

(杭頭固定部、地中部)

$$\text{傾み角 } \theta = e^{\beta x} (A \cos \beta x + B \sin \beta x) + e^{-\beta x} (C \cos \beta x + D \sin \beta x)$$

$$\text{地表面杭変位 } \bar{y}_0 = A + C$$

$$\text{傾み角 } \theta = B \{ e^{\beta x} \{ (-A+B) \sin \beta x + (A+B) \cos \beta x \} + e^{-\beta x} \{ -(C+D) \sin \beta x + (C+D) \cos \beta x \} \} \quad \left. \begin{array}{l} \\ \\ \end{array} \right\} (11)$$

$$\text{モーメント } M = 2EI \beta^2 \{ e^{\beta x} \{ -A \sin \beta x + B \cos \beta x \} + e^{-\beta x} \{ C \sin \beta x - D \cos \beta x \} \}$$

$$\text{剪断力 } S = 2EI \beta^3 \{ e^{\beta x} \{ -(A+B) \sin \beta x + (-A+B) \cos \beta x \} + e^{-\beta x} \{ -(C+D) \sin \beta x + (C+D) \cos \beta x \} \} \quad \left. \begin{array}{l} \\ \\ \end{array} \right\}$$

しかし、 A, B, C, D 等の係数は下式のとおりである。

$$A = \frac{H}{2EI \beta^3} \{ e^{2\beta L} (2\beta^2 - 2\beta \eta + 1) + 1 \}$$

$$B = \frac{H}{2EI \beta^3} \{ e^{-2\beta L} (2\beta^2 - 2\beta \eta - 1) - 1 \}$$

$$C = \frac{H}{2EI \beta^3} \{ e^{2\beta L} + e^{2\beta L} (2\beta^2 + 2\beta \eta + 1) \}$$

$$D = \frac{H}{2EI \beta^3} \{ e^{2\beta L} + e^{-2\beta L} (2\beta \eta + 2\beta^2 - 1) \}$$

$$\Delta = 2e^{2\beta L} + 8e^{2\beta L} \eta - 2, \quad \xi = \sin \beta L, \quad \eta = \cos \beta L$$

3) 合成模の考え方

1) 期性荷重配分率 R_2

前述の方法により各杭について杭頭変位を計算すると、各杭が異なるので一般ル杭頭変位が求め

進つてくる。しかし実際には杭全体はフーチングと結合され、一体として変位するのであるが事は起り得ない。この実験結果が異なるといふ事はバネ定数が各々違うものと考える。即ち変位が小玉へと入り事は横方向バネ定数が剛である事と同様であると言える。ここで各実験変位の速度をもつて横方向バネ定数とし水平荷重を横方向のバネ定数の比に分配するものとする。ここで各実験変位の速度の比を剛性係数分配率 R_i と名づける。

② 群杭効果係数分配率 : C_c

杭間隔を或程度以上広げると打込みた杭が相互に干渉してその効果を減ずる。本設計においても群杭となるべきの支持力低下を防ぐなければならぬ。従つてその支持力低下を横方向バネ定数の低下と考え、上と同様に水平荷重と横方向バネ定数の比を分配するものと考える。群杭効果率 C_c は一例目 1.0, 二例目 0.8, 三例目以下 0.6 を用いる。

③ 組合せ荷重分配率 F_c

前述の剛性係数分配率 R_i と群杭効果係数分配率 C_c を組合せたものを組合せ荷重分配率 F_c と名づけ、水平荷重はこの組合せ荷重分配率をもつて(1)及び(2)を計算して各杭に分配されるものとする。

b-6 変位を考慮に入れた計算法

変位を考慮に入れた計算法は杭基礎全体の変位を考慮して力の釣合を成立させる方法によるもので杭軸方向力、軸直角方向力が求まる同時に変位も求め能く理論的な計算法である。本設計の場合には前述の計算法が本杭の設計としては目的を達成するが傾斜岩盤上の短杭であるといつて特異な基礎構造があり又が土探査の変位量を知る必要があるのがこの計算法を実施したものである。本杭、この計算法は杭頭剛結の場合は計算が非常に複雑になるので建設省土木研究所新開発の KITAC 5070H の電子計算機を使用したものである。

外力 M , δ_x , δ_y を受けた(1)～(2)による杭頭の変位は次の(12)式で求められが出来る。

$$\sum [(-K_1 X_i \cos \theta_i \sin \theta_i - K_2 \cos \theta_i + K_3 \sin \theta_i \cos \theta_i) \delta_x + (-K_1 \cos \theta_i \sin \theta_i + K_2 \cos \theta_i \sin \theta_i) \delta_y + (K_1 \cos^2 \theta_i + K_2 \sin^2 \theta_i) \delta_x] = H$$

$$\sum [(K_1 X_i \sin^2 \theta_i + K_2 \sin \theta_i + K_3 X_i \cos^2 \theta_i) \delta_x + (K_1 \sin^2 \theta_i + K_2 \cos^2 \theta_i) \delta_y + (-K_1 \cos \theta_i \sin \theta_i + K_2 \cos \theta_i \sin \theta_i) \delta_x] = V$$

$$\sum [(K_1 X_i^2 \sin^2 \theta_i + K_2 X_i \sin \theta_i + K_3 X_i^2 \cos^2 \theta_i + K_4 \sin \theta_i + K_5 \cos \theta_i) \delta_x + (K_1 X_i \sin^2 \theta_i + K_2 \cos^2 \theta_i + K_3 \sin \theta_i) \delta_y + (-K_1 X_i \cos \theta_i \sin \theta_i + K_2 \cos \theta_i \sin \theta_i - K_3 \cos \theta_i) \delta_x] = M \quad \dots \dots (12)$$

$$t \leq s \quad K_1 = \frac{K_{HH} K_{HM} K_{OH}}{K_{OH} K_{HM} - K_{HH} K_{OH}} \quad K_2 = \frac{K_{OM} K_{HH} K_{OH}}{K_{OH} K_{HM} - K_{HH} K_{OH}} \quad K_3 = \frac{K_{HH} K_{OM} K_{HM}}{K_{OH} K_{HM} - K_{HH} K_{OH}} \quad K_4 = \frac{K_{OH} K_{OM} K_{HM}}{K_{OH} K_{HM} - K_{HH} K_{OH}}$$

K_{HH} : 杭軸直角方向バネ定数 (t/cm) K_{OH} : 杭軸方向バネ定数

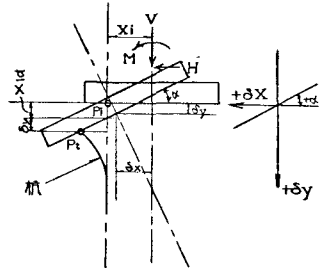
K_{OM} : 杭頭に單位の回転角を生じさせると杭軸直角方向の力 (t/radian)

K_{HM} : 杭頭に单位の杭頭直角方向の変位を生じさせるとモーメント (t.cm/cm)

K_{OM} : 杭頭に单位の回転角を生じさせると曲げモーメント (t.cm/radian)

抵抗力は上式で求めた α , δ_x , δ_y を(12)式に入れて求めればよい。

図-7



$$P_{xi} = K_x (X_i \cos \theta_i + Y_i \sin \theta_i), P_{hi} = K_{hh} (-X_i \sin \theta_i - Y_i \cos \theta_i) \dots \dots (13)$$

左方, K_{HH} , K_h は昭和42年公に実施した水平及び重直載荷試験の実測值より求めたが, K_{hh} , K_{HH} 及び K_{hl} は実験用のため事は現らし困難であり, 実際上は大手筋を並べ。従ってこれらは静力学公式より求めた式となり得る。

$$K_{HH} = EIJ^3, K_h = EIJ^2, K_{hl} = 2EIJ^2, K_{hh} = EIJ^3 \dots \dots (14)$$

従つて K_1, K_2, K_3, K_4 は式(14)より得られる。

$$K_1 = +EIJ^3, K_2 = 2EIJ^2, K_3 = 2EIJ^2, K_4 = 2EIJ^3 \dots \dots (15)$$

4) 計算結果

上述の方程式より傾斜支壁上の短軸の計算結果を表-4, 5, 6 に示す。以下に各部材の許容度量以下により十分である。

表-4 弹性度の限界解法と有限長の杭との解法の合成計算結果

解法	番号	条件	初期K000の値	初期反応Y0	初期モーメントMo	M0	抵抗端引張力	Se
弹性 屈上 の解 法	No.1	初期固定 杭先剛結	$P_0^2 \max = 47.2 t$	0.79 cm	108.30 t-m	t-m	-26.4 t	-15.0 t
	No.2	初期固定 杭先ヒンジ	"	1.15 cm	-16.49		-4.1	
No.3	No.3	初期固定 杭先剛結	$P_0^2 \max = 43.4 t$	0.88 cm	98.50		-9.3	-2.5
	No.4	初期固定 杭先ヒンジ	"	1.05 cm	93.17		+2.3	
有限長 支壁	No.3	$P_0^2 \max = 38.9$		0.97	90.07		0.0 t	
	No.4	$P_0^2 \max = 33.6$		0.97	87.62		+2.5	

表-5 变位を考慮に入れた計算結果その1

解法	条件	荷重	α	δy	δx	番号	P_{xi}	Φ_{hi}
塑性 考慮 せん れん 計算 結果 併用 する とき	KH-32t/m KV-500t M-7330t/cm	$\alpha=101.93^\circ$ $V=334.07$ $M=7330$	rad	cm	cm	N0.1	222.397	25.93
						N0.2	163.104	"
						N0.3	163.891	"
						N0.4	226.338	"
						N0.1	220.170	"
KH-32t/m KV-300t		0.000619	0.045058	0.019195	cm	N0.2	162.003	"
						N0.3	160.632	"
						N0.4	228.600	"
						N0.1	219.910	"
						N0.2	162.116	"
KH-50t/m KV-500t		0.0003813	0.057035	0.016430	cm	N0.3	160.919	"
						N0.4	217.721	"
						N0.1	216.847	"
						N0.2	161.204	"
						N0.3	165.740	"
KH-50t/m KV-300t		0.0006173	0.045058	0.019195	cm	N0.4	20.186	"
						N0.1	-216.847	"
						N0.2	161.204	"
						N0.3	165.740	"
						N0.4	30.186	"

8) まとめ

以上大抵の基礎杭設計のうち、今迄の傾斜支壁上の短軸の設計方法とその計算結果の概要を述べたのがあるが、此の設計方法及び実際の施工性の検討も含め現在該験航を実施中である。

本設計の多くは杭へ巨大な水平力が加わる傾斜支壁上の短軸の設計施工の実例は本邦じゆ極めて稀であり、これまでの設計の方針論議立の多く多くの文献をしげらかに、この計算法が確立されつゝは建設省土木研究所吉田基盤研究室より種々の御指導及び御助言を頂いた。これら想く感謝の意を表すと共に御心から。

表-5 变位を考慮に入れた計算結果その2

解法	条件	α , δx , δy	荷重	Mo	Pvi	Phi
塑性 考慮 せん れん 計算 結果 併用 する とき	KH-32t/m KV-500t M-7330t/cm	$\alpha=0.000233$ rad	$\delta x=0.0379$ cm	$\delta y=0.02239$ cm	N0.1	30.57
					N0.2	156
					N0.3	-23.27
					N0.4	-93.11
KH-32t/m KV-300t		$\alpha=0.000296$ rad	$\delta x=0.02897$ cm	$\delta y=0.02668$ cm	N0.1	-20.93
					N0.2	117
					N0.3	-11.12
					N0.4	-211